

ТЕОРЕТИЧЕСКОЕ ИССЛЕДОВАНИЕ СТРУКТУРЫ И СТАБИЛЬНОСТИ
ПОСЛОЙНО ГИДРИРОВАННЫХ АЛЮМИНИЕВЫХ
КЛАСТЕРОВ Al_{44}H_n И Al_{89}H_m

© 2019 г. О. П. Чаркин¹, *, Н. М. Клименко²

¹Институт проблем химической физики РАН, пр-т Академика Семенова, 1,
Черноголовка Московской обл., 142432 Россия

²Московский государственный технологический университет им. М. В. Ломоносова,
пр-т Вернадского 86, Москва, 119571 Россия

*E-mail: charkin@icp.ac.ru

Поступила в редакцию 02.11.2018 г.

После доработки 06.12.2018 г.

Принята к публикации 15.03.2019 г.

В рамках метода функционала плотности (DFT) рассчитаны структурные, энергетические и спектроскопические характеристики двух серий послойно гидрированных алюминиевых кластеров Al_{44}H_n ($n = 27–44$) и Al_{89}H_m ($m = 15, 24, 39$ и 63). Показано, что при увеличении числа атомов H в обеих сериях происходит быстрое нарастание структурных деформаций вплоть до кооперативных перегруппировок с изменением формы и состава поверхностного слоя и внутреннего ядра кластеров. В конце первой серии Al_{44}H_n несколько поверхностных атомов смешается во внешнюю сферу каркаса с образованием валентно-ненасыщенных “надповерхностных” фрагментов AlH_n и Al_2H_n , которые могут быть активными центрами на стадиях более глубокого гидрирования. Одновременно внутреннее ядро $[\text{Al}]_5$ распадается и его атомы внедряются в поверхностный слой. Локализовано семейство “инвертированных” изомеров $\text{Al}_{42}\text{H}_{42}$ с каркасом $[\text{Al}_{42}]$, которые содержат эндозэдральную группу AlH_4 и “внутренние” связи Al–H, направленные водородным концом к центру внутренней полости. В конце второй серии во внешней сфере кластера $\text{Al}_{89}\text{H}_{63}^-$ образуются пять аланатных групп AlH_4 и два фрагмента Al_3H_2 , связанных с поверхностью водородными мостиками. Результаты представляют интерес при DFT-моделировании гидрирования наноразмерных алюминиевых кластеров на молекулярном уровне.

Ключевые слова: метод функционала плотности, поверхность потенциальной энергии, гидрирование, нанокластеры алюминия, эволюция поверхности

DOI: 10.1134/S0044457X19060199

ВВЕДЕНИЕ

Поиск и исследование структуры новых гидридов алюминия с высоким содержанием водорода, а также изучение механизмов гидрирования легких элементов остаются важной задачей из-за перспектив использования этих соединений в качестве эффективных накопителей водорода, источников водорода для топливных элементов, восстанавливающих агентов и т.д. (например, [1–5]). Благодаря развитию методов молекулярных пучков, масс-спектрометрии, фотоэлектронной спектроскопии (ФЭС) и колебательной спектроскопии в инертных матрицах в сочетании с квантово-химическими расчетами было обнаружено более двухсот новых кластеров и молекулярных ионов гидридов алюминия различного состава и рассчи-

таны их молекулярные характеристики [6–17]. В работе [18] в рамках метода теории функционала плотности (ТФП/DFT) были выполнены расчеты структурных, энергетических и спектроскопических характеристик серии гидрированных кластеров серии $\text{Al}_{44}\text{H}_n^-$ с последовательно увеличивающимся числом атомов водорода в интервале $n = 1–24$. Согласно расчетам, в этой серии алюминиевый каркас сохраняет замкнутую форму матрешки с поверхностным слоем $[\text{Al}_{39}]$ и пятиатомным внутренним “ядром” $[\text{Al}_5]$, но при увеличении n происходит быстрое нарастание асимметричных деформаций как поверхностного слоя, так и ядра. Поверхность гофрируется, часть двухцентровых терминальных связей Al–H трансформируется в трехцентровые водородные

мостики Al—H—Al, и часть ее атомов Al смещается из поверхностного слоя во внешнюю сферу. Внутреннее ядро [Al₅] при $n = 24$ теряет бипирамидальную форму и смещается к поверхностному слою так, что один или два его атома встраиваются в вогнутые участки поверхностного слоя. Расчитанные энергии реакций распада Al₄₄H _{n} → Al₄₄H _{$n-2$} + H₂ с отщеплением молекулы водорода имеют порядок ~5–6 ккал/моль и свидетельствуют о небольшой эндотермичности этих реакций.

Настоящее работа является продолжением [18] и ставит целью исследование эволюции структурных и энергетических свойств субнаноразмерных гидрированных кластеров Al _{m} H _{n} при увеличении числа каркасных атомов алюминия m и атомов водорода n . Проблемы структурной перестройки поверхности кластера Al _{m} по мере ее последовательного насыщения атомами H; знание состава и структуры поверхностных дефектов, которые могут выражаться в образовании надповерхностных реакционноспособных фрагментов типа AlH _{n} , Al₂H _{n} и их ассоциатов или в виде многоатомных поверхностных “окон”; понимание механизмов обновления поверхности, разрушающейся при гидрировании за счет внедрения в нее атомов из подповерхностных слоев; знание критических значений n^* , для которых характерны радикальные трансформации с изменениями формы и состава поверхностного слоя и ядра и др., представляются важными и интересными во многих аспектах, но на молекулярном уровне они остаются малоизученными. На наш взгляд, систематические DFT-расчеты наиболее интересных участков поверхности потенциальной энергии гидрированных кластеров Al _{m} H _{n} с разными m и n могут быть в этой области весьма полезными. В настоящей работе мы попытались проиллюстрировать это на примере расчетов двух серий по-слойно гидрированных субнаноразмерных кластеров Al₄₄H _{n} и Al₈₉H _{n} ⁻ (см. также [19]).

ТЕОРЕТИЧЕСКАЯ ЧАСТЬ

Как и в [18], стартовые структуры выбирали добавлением n внешних связей Al—H к равновесной структуре свободного кластера Al₄₄ с последовательным заполнением его поверхностных, промежуточных и экваториального слоев II, I и О шестью и девятью атомами H. Оптимизацию геометрических параметров и частот нормальных колебаний кластеров Al₄₄H _{n} проводили с использованием программы GAUSSIAN-09 [20] в рамках приближения B3LYP [21, 22] с базисом 6-31G и серии оптимизационных процедур при последовательном понижении симметрии до C₁. Энергетические характеристики уточняли с базисом 6-31G*. К сожалению, расчеты частот нормаль-

ных колебаний кластера Al₈₉⁻ и гидридов Al₈₉H _{n} выходят за рамки возможностей нашего компьютера, поэтому мы ограничились оптимизацией их геометрии на уровне B3LYP с поляризованным базисом 6-31G* без ограничений по симметрии (C₁) и повторной реоптимизацией умеренно деформированных структур, в которых атомы Al были смещены из равновесных позиций на 0.10–0.15 Å. В большинстве случаев результаты оптимизации и последующих реоптимизаций оказывались близкими, и мы полагаем, что оптимизированные структуры соответствуют локальным минимумам ППЭ. Как обычно, основное внимание уделяется тенденциям и относительным изменениям рассчитанных структурных и энергетических характеристик при изменении n . Оптимизированные структуры и характеристики рассмотренных систем приведены на рис. 1–4 и в табл. 1.

РЕЗУЛЬТАТЫ И ОБСУЖДЕНИЕ

“Послойно” гидрированные кластеры Al₄₄H _{n} с $n = 27, 33, 39$ и 43

Тенденция к нарастанию деформаций гидридов Al₄₄H _{n} с увеличением n , отмеченная в [18], быстро усиливается в интервале с $n = 24$ –43 и достигает апогея в конце серии. Если в первой половине серии каркас Al₄₄ сохраняет замкнутую форму, то уже у изомера Al₄₄H₃₀ (**1-8a**) аксиальные атомы ядра Al₍₂₃₎ и Al₍₂₄₎ приближаются почти на 2 Å, а экваториальные атомы Al₍₁₄₎, Al₍₂₂₎ и Al₍₂₁₎, напротив, удаляются друг от друга, встраиваются в поверхностные позиции и становятся стерически открытыми для образования новых внешних связей Al—H (рис. 1). Кроме того, два фрагмента состава Al₃H₃ с координационно-ненасыщенными атомами Al отдаляются от поверхности на 0.15–0.20 Å, смещааясь во “внешнюю” сферу каркаса, и могут служить активными центрами на последующих стадиях глубокого гидрирования. В отличие от гидридов первой половины серии, у которых алюминиевый каркас в большинстве случаев покрыт двухцентровыми терминальными связями Al—H, у изомера Al₄₄H₃₀ (**1-8a**) поверхностный слой содержит десять трехцентровых водородных мостиков Al_(i)—H—Al_(j), в том числе 4 квазисимметричных и 6 несимметричных. У первых расстояния R(Al_(i)—H) и R(Al_(j)—H) близки (~1.75–1.78 Å), а у последних их разница лежит в интервале ~0.15–0.20 Å. У симметричных мостиков частоты продольных и поперечных колебаний атома водорода лежат в существенно отстоящих интервалах ~1500–1650 и ~750–810 cm⁻¹, а у несимметричных — в более близких интервалах ~1350–1450 и ~900–1050 cm⁻¹. У второго изомера Al₄₄H₃₀ (**1-8b**) сильнее всего деформированы области внешних слоев II⁺ и II⁻. В их надповерх-

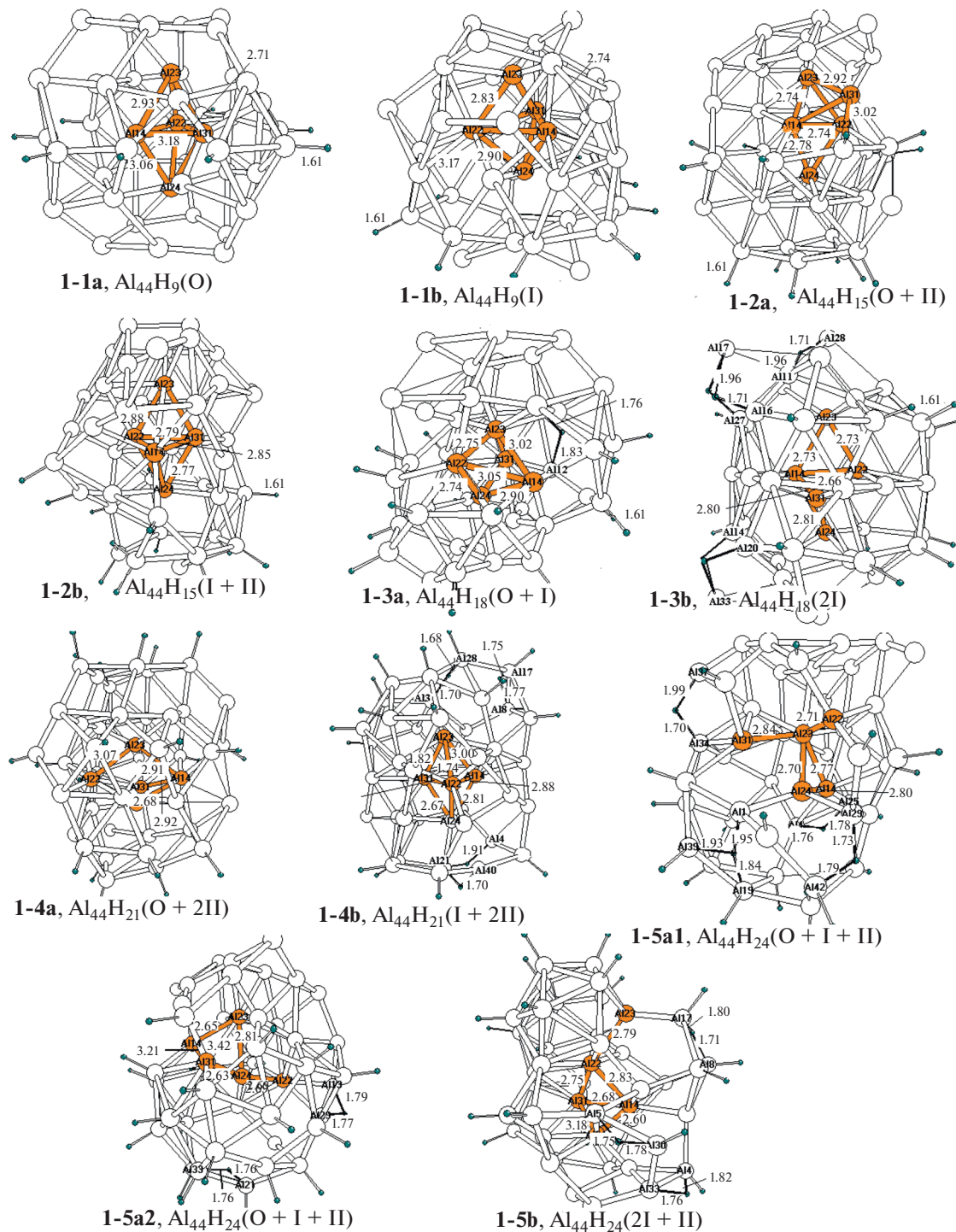


Рис. 1. Оптимизированные структуры по слойно гидрированных изомеров кластеров Al_{44}H_n ($n = 27 - 43$).

ностную сферу смещаются фрагменты Al_2H_2 , Al_2H и AlH . Ядро принимает форму изогнутой цепочки, у которой атомы $\text{Al}_{(14)}$ и $\text{Al}_{(31)}$ внедряются в поверхностный слой и тоже открыты для образования новых связей $\text{Al}-\text{H}$.

У гидрида $\text{Al}_{44}\text{H}_{33}$ со структурой **1-9** атомы ядра $\text{Al}_{(14)}$ и $\text{Al}_{(23)}$ остаются во внутренней полости каркаса, а остальные ($\text{Al}_{(22)}$, $\text{Al}_{(24)}$ и $\text{Al}_{(31)}$) встраиваются в поверхностный слой. Алюминиевый каркас приобретает пятиатомные “окна” и теряет закры-

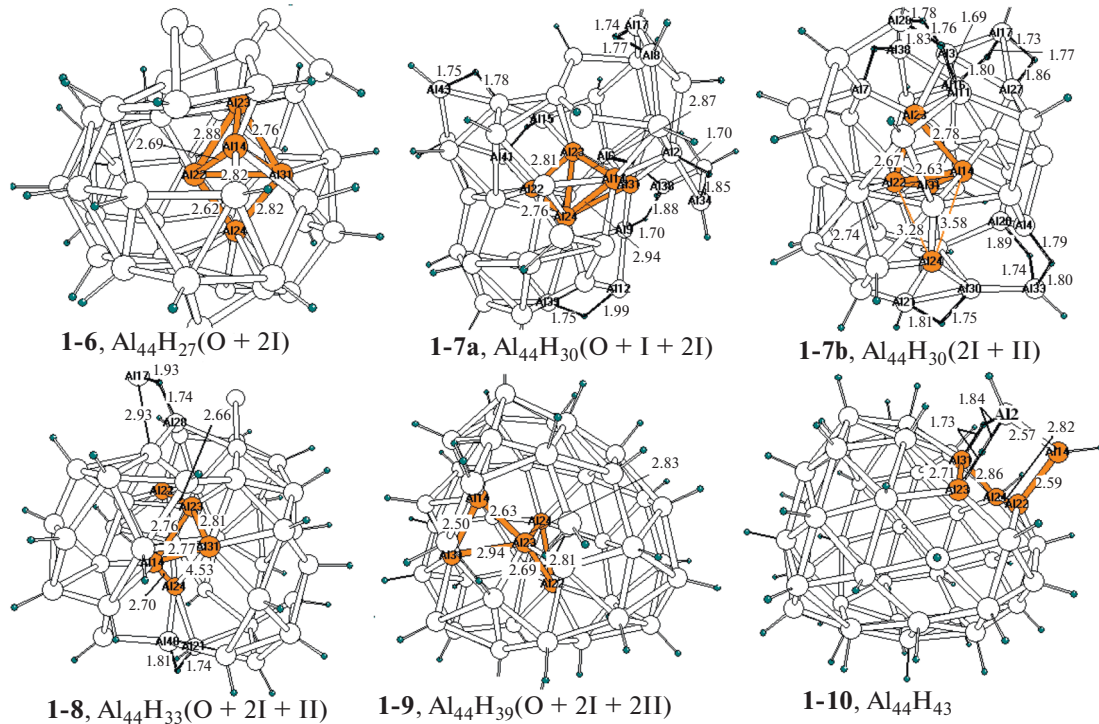


Рис. 1. Окончание.

тую форму. Атом $\text{Al}_{(17)}$ смещается из поверхностной позиции, приобретает большой положительный заряд и выполняет роль внешнесферного катиона. Аналогично, у изомера $\text{Al}_{44}\text{H}_{39}$ (**1-10**) биядерный фрагмент Al_2H_2 и несколько групп AlH смещаются во внешнюю сферу, в каркасе появляется несколько “окон”, частично закрытыми атомами Н, расположенными над ними в шапочных позициях. Три атома ядра — $\text{Al}_{(14)}$, $\text{Al}_{(22)}$ и $\text{Al}_{(31)}$ — встроены в каркас и открыты для образования новых связей $\text{Al}-\text{H}$.

У гидрида $\text{Al}_{44}\text{H}_{43}$ (**1-11**) все пять атомов “бывшего” ядра выходят из внутренней полости. Четыре из них встраиваются в поверхность в виде согнутого ромба, а пятый $\text{Al}_{(14)}$ переходит в состав внешнесферного фрагмента Al_2H_2 , соединенного с каркасом связью $\text{Al}_{(14)}-\text{Al}_{(31)}$ и двумя внешними H-мостиками. Опустевший каркас $[\text{Al}_{42}]$ имеет фуллереноподобную форму, в которой все атомы алюминия окружены двухцентровыми терминальными связями $\text{Al}-\text{H}$.

Изомеры кластера $\text{Al}_{44}\text{H}_{44}$

Равновесные структуры изомеров последнего члена серии $\text{Al}_{44}\text{H}_{44}$ рассчитывали с использованием стартовой симметричной структуры **2-1** (рис. 2) с гидрированным ядром $[\text{Al}_5\text{H}_5]$ внутри оболочки $[\text{Al}_{39}\text{H}_{39}]$ после серии повторных опти-

мизаций с понижением симметрии до C_1 и правками на векторы смещений атомов, отвечающих мнимым частотам. На рис. 2 изображены структуры наиболее выгодных изомеров, имеющих только действительные значения колебательных частот. Как и $\text{Al}_{44}\text{H}_{43}$ (**1-11**), они имеют фуллереноподобный алюминиевый каркас с встроенными в него четырьмя атомами ядра в виде согнутого ромба. У экзоэдральных изомеров **2-4** и **2-5** имеется фрагмент Al_2H_2 , вытесненный из поверхности во внешнюю сферу и связанный с поверхностью внешними H-мостиками, а у эндоэдральных **2-2** и **2-3** во внутренней полости каркаса остаются лишь атом $\text{Al}_{(14)}$ и близкая к электронейтральной бидентатная или тридентатная группа AlH_4 , которая связана с поверхностными атомами Al внутренними H-мостиками. Их мостиковые атомы H имеют отрицательный заряд $-0.22e$. Внутренний мостик $\text{Al}_{(22)}-\text{H}_b-\text{Al}_{(23)}$ с пятым эндоэдральным атомом H характеризуется длинами фрагментов ~ 1.76 и 1.79 Å и частотами ~ 1380 ($\text{Al}_{(22)}\text{H}$) и 1090 cm^{-1} ($\text{Al}_{(23)}\text{H}$). Согласно расчетам, все четыре изомера лежат в пределах ~ 7 ккал/моль, остальные структуры менее выгодны и здесь не рассматриваются.

В структурах эндоэдральных (**2-2** и **2-3**) и экзоэдральных (**2-2** и **2-3**) изомеров внутренние связи $\text{Al}-\text{H}$ и мостики $\text{Al}-\text{H}-\text{Al}$ не сильно отличаются от своих внешних аналогов, расположенных на

Таблица 1. Рассчитанные энергетические характеристики послойно гидрированных изомеров кластеров Al_{44}H_n ($n = 6-43$) в ккал/моль^a

Кластер, структура	$D(n\text{H})$	$\bar{D}(\text{H})$	ΔD			\bar{D}		
			H_{II}	H_{I}	H_{O}	H_{II}	H_{I}	H_{O}
Al_{44}H_6 (II)	329	54.7	329			54.7		
Al_{44}H_9 (O), (1-1a)	499	55.4		499	499		55.4	55.4
Al_{44}H_9 (I), (1-1b)	499	55.4						
$\text{Al}_{44}\text{H}_{12}$ (2II),	663	55.3	334			55.6		
$\text{Al}_{44}\text{H}_{15}$ (O+II), (1-2a)	817	54.5	318		498	53.0		54.2
$\text{Al}_{44}\text{H}_{15}$ (I+II), (1-2b)	824	54.9	325		495	54.2		55.0
$\text{Al}_{44}\text{H}_{18}$ (O+I), (1-3a)	993	55.2		494	494		54.9	54.9
$\text{Al}_{44}\text{H}_{18}$ (2I), (1-3b)	1018	56.5		519			56.5	
$\text{Al}_{44}\text{H}_{21}$ (O+2II), (1-4a)	1165	55.5	348	505	507	58.0	56.1	56.3
$\text{Al}_{44}\text{H}_{21}$ (I+2II), (4-4b)	1163	55.4	339			56.5		
$\text{Al}_{44}\text{H}_{24}$ (O+I+II), (1-5a1)	1319	50.0	326	502	495	54.3	55.8	55.0
$\text{Al}_{44}\text{H}_{24}$ (O+I+II), (1-5a2)								
$\text{Al}_{44}\text{H}_{24}$ (2I+II), (1-5b)	1356	56.5	338	513		57.5	57.0	
$\text{Al}_{44}\text{H}_{27}$ (O+2I), (1-6)	1467	54.3		474	449		52.7	50.0
$\text{Al}_{44}\text{H}_{30}$ (O+I+2II), (1-7a)	1652	55.1	333	487	489	55.5	54.1	54.3
$\text{Al}_{44}\text{H}_{30}$ (2I+II), (1-7b)	1650	55.0						
$\text{Al}_{44}\text{H}_{33}$ (O+2I+II), (1-8b)	1792	54.3	325	473		54.2	54.1	
$\text{Al}_{44}\text{H}_{39}$ (O+2I+2II), (1-9)	2163	55.5						
$\text{Al}_{44}\text{H}_{43}$ (O+2I+2II), (1-10)	2335	54.3						
$\text{Al}_{44}\text{H}_{44}$, (3-2)	2403	54.6						

^a Расчеты в приближении B3LYP/6-31G* + ЭНК(B3LYP/6-31G). Оптимизированные структуры изомеров Al_{44}H_n изображены на рис. 1.

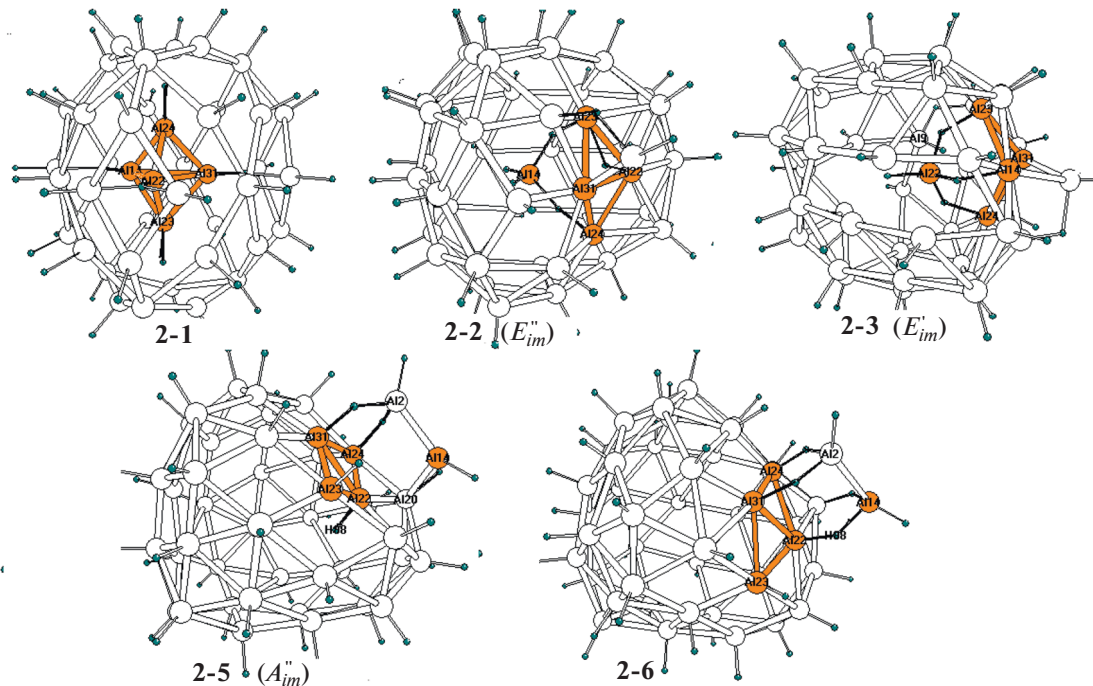
поверхности. Внутренние фрагменты слегка удлинены по сравнению с внешними, но отличия в их длинах не превышают 0.02 Å у терминальных и 0.04 Å у мостиковых связей, а различия в колебательных частотах составляют ~50–80 см⁻¹. Изомеры **2-3** и **2-5** близки по энергии, а **2-4** лежит на ~7 ккал/моль выше, чем **2-5**.

Экзоэдральные и эндоэдральные фуллереноподобные изомеры Al_nH_m

На рис. 3 изображены структуры нескольких фуллереноподобных изомеров Al_nH_n с действительными колебательными частотами, которые были локализованы при серийных расчетах кластеров Al_nH_m . При оптимизации изомера $\text{Al}_{39}\text{H}_{39}$ (**3-1**) в качестве стартовой использовали экзоэдральную структуру одного из изомеров $\text{Al}_{44}\text{H}_{39}$, из которой удалены атомы внутреннего ядра [Al₅]. Такую же структуру **3-1** получили в расчетах ионов $\text{Al}_{39}\text{H}_{39}^+$ и $\text{Al}_{39}\text{H}_{39}^-$. При оптимизации изомера $\text{Al}_{42}\text{H}_{42}$ (**3-2**) в качестве стартовой выбрали эк-

зоэдральную структуру $\text{Al}_{44}\text{H}_{44}$ (**2-5**), из которой удалена внешнесферная группа Al_2H_2 . Согласно расчетам, обе клетки (**3-1** и **3-2**) имеют по два десятка деформационных частот <100 см⁻¹ и напоминают эластичные и легко деформируемые сетки.

Помимо “нормальной” структуры **3-2**, у которой полый алюминиевый каркас окружен внешними связями Al–H, на рис. 3 приведены структуры **3-3–3-8** “инвертированных” фуллереноподобных изомеров кластера $\text{Al}_{42}\text{H}_{42}$, имеющих только действительные значения колебательных частот и содержащих “внутренние” связи Al–H, водородные концы которых направлены к центру полого каркаса (ниже атомы внутренних связей обозначены звездочкой). У изомеров **3-3** и **3-4** имеются одна и три параллельные, а у **3-5** и **3-6** – две и четыре антипараллельные (“встречные”) связи Al*–H* при атомах алюминия, занимающих промежуточные позиции *m* внешних слоев Π^+ и Π^- . Изомеры **3-7** и **3-8** содержат две и четыре встречные связи Al*–H* при атомах алюминия экваториального слоя **O**.

Рис. 2. Структуры изомеров кластера $\text{Al}_{44}\text{H}_{44}$.

Особенность инвертированных структур 3-3-3-8 (по сравнению с “правильной” 3-2) состоит в том, что их связи Al^*-H^* втянуты во внутреннюю полость вместе с атомами Al^* , в результате чего рельеф отвечающего им участка поверхности каркаса Al_{42} приобретает характер вогнутых “впадин”, а при наличии нескольких соседних внутренних связей эти индивидуальные “впадины” сливаются в довольно глубокие и широкие “долины”. При этом, как и у изомеров $\text{Al}_{44}\text{H}_{44}$ (см. выше), отличия между внутренними и внешними связями не превышают 0.01–0.02 Å и нескольких десятков cm^{-1} для расстояний $R(\text{AlH})$ и частот $v(\text{AlH})$ соответственно. Подчеркнем, что, согласно расчетам, инвертированные изомеры энергетически более выгодны по сравнению с “правильным” 3-2. Так, изомеры 3-4, 3-5 и 3-6 лежат ниже, чем 3-2, на 28 и 20–22 ккал/моль, а у изомеров 3-5 и 3-6 разница уменьшается до 7.5 и 18 ккал/моль. Отметим еще, что оптимизация стартовой структурой с тремя парами встречных аксиальных связей Al^*-H^* приводит к образованию необычной структуры 3-7 (рис. 3), в которой атомы фрагмента $\text{Al}_{(6)}^*-\text{H}_{(42)}^*$ перемещаются во внутреннюю полость, а атом $\text{Al}_{(6)}^*$ занимает позицию в центре эндоэдрального октаэдра $[\text{Al}_{(6)}^*(\text{H}^*)_6]$ и связан с каркасом пятью внутренними асимметричными мостиками $\text{Al}_{(6)}^*-\text{H}_b-\text{Al}$. Длины мо-

стиковых фрагментов $R(\text{Al}_{(6)}^*-\text{H}_b^*)$ и $R(\text{H}_b^*-\text{Al})$ лежат в интервалах 1.75–1.80 и 1.68–1.72 Å соответственно, а углы $\phi(\text{Al}_{(6)}^*-\text{H}_b^*-\text{Al})$ – в интервале 125°–130°. Частоты валентных колебаний коротких фрагментов $\text{Al}_{(6)}^*-\text{H}_j^*$ лежат в интервале 1500–1750 cm^{-1} . Согласно расчетам, изомер 3-7 лежит почти на 68 ккал/моль ниже, чем 3-2, и оказывается самым выгодным среди инвертированных структур.

В заключение кратко остановимся на энергетических характеристиках гидридов Al_{44}H_n . В табл. 1 помимо формулы кластеров указаны гидрированные внешний, промежуточный и экваториальный слои II, I и O. Энергии $D(\text{Al}_{44}\text{H}_n)$ образования кластеров по схеме $\text{Al}_{44} + n\text{H} \rightarrow \rightarrow \text{Al}_{44}\text{H}_n$ рассчитаны по разности полных энергий продукта и реагентов с учетом энергий нулевых колебаний. В третьей колонке даны энергии $\bar{D}_n(\text{H})$ связей $\text{Al}-\text{H}$, усредненные по полной совокупности атомов водорода ($D_n(\text{H}) = 1/n D(\text{Al}_{44}\text{H}_n)$). В четвертой колонке приведены энергии $D(\text{II})$, $D(\text{I})$ и $D(\text{O})$ “послойного” гидрирования с присоединением шести атомов H к внешнему слою и девяти атомов H к промежуточному или экваториальному слою. В последующих колонках даны “послойные” энергии связей $\text{Al}-\text{H}$ ($D(\text{H}_{\text{II}}) = 1/6 D(\text{II})$, $D(\text{H}_{\text{I}}) = 1/9 D(\text{I})$ и $D(\text{H}_{\text{O}}) = 1/9 D(\text{O})$), усред-

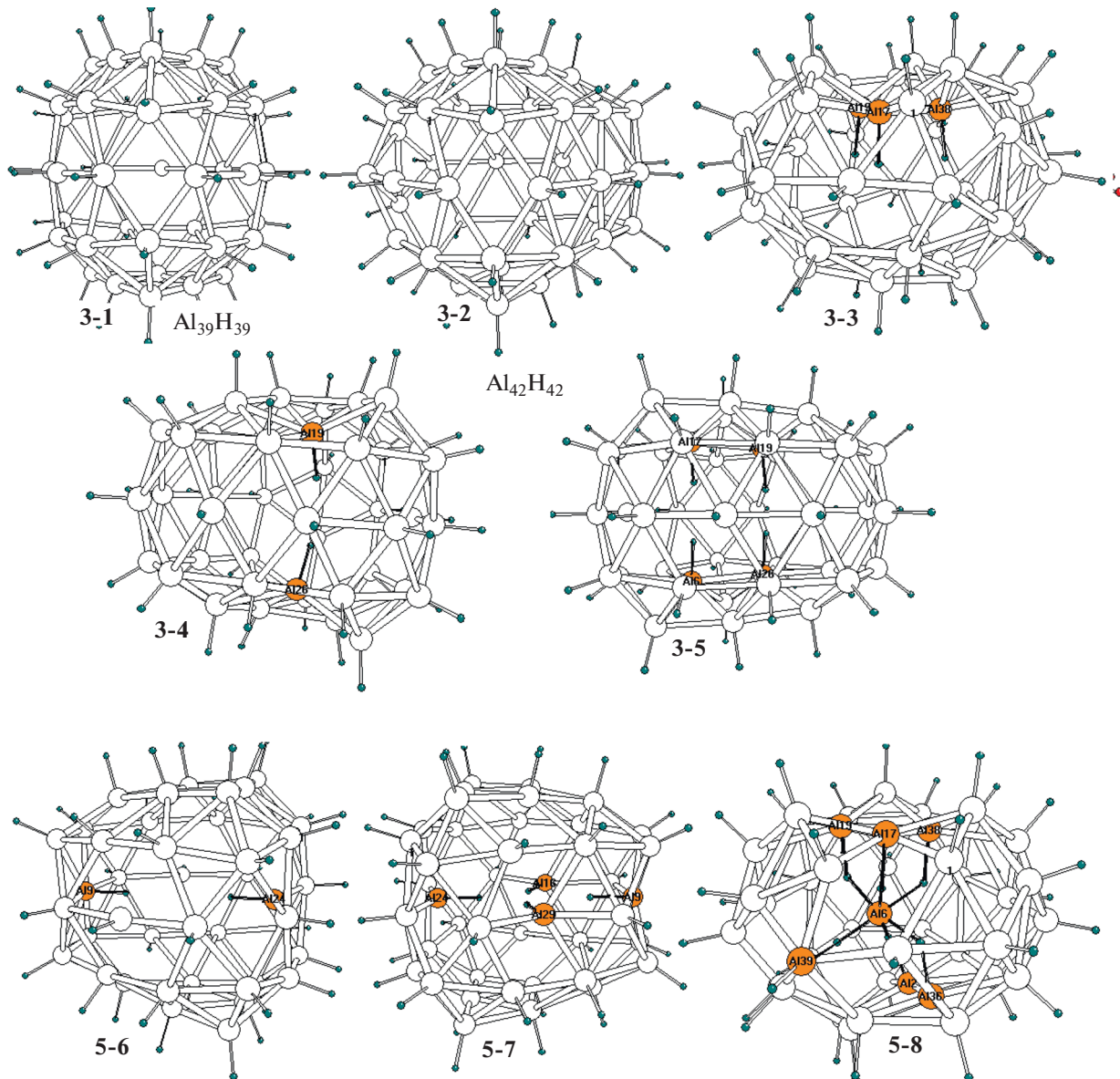


Рис. 3. Структуры фуллереноподобных изомеров $\text{Al}_{44}\text{H}_{39}$ и Al_{44}H_2 с внешними и внутренними связями $\text{Al}-\text{H}$.

ненные по совокупностям связанных атомов Н, соответствующего заполненного слоя.

Из табл. 1 следует, что “полностью усредненные” энергии $\bar{D}_n(H)$ варьируются в пределах 55.5 ± 2.5 ккал/моль во всем интервале изменения $n = 2-39$. Усредненные “послойные” энергии $\bar{D}(H_{II})$, $\bar{D}(H_I)$ и $\bar{D}(H_O)$ также укладываются в тех же пределах, хотя у разных слоев они могут различаться на несколько ккал/моль в зависимости от присутствия других гидрированных слоев, их числа и положения. Энергии присоединения молекул H_2 по схеме $Al_{44}H_n + H_2 \rightarrow Al_{44}H_{n+2}$ составляют $\sim 3-8$ ккал/моль, так что на полуколиче-

ственном уровне эти реакции можно полагать слабоэкзотермичными. Из-за вычислительных трудностей потенциальные барьеры реакций $\text{Al}_{44}\text{H}_n + \text{H}_2 \rightarrow \text{Al}_{44}\text{H}_{n+2}$ не рассчитывали, но поскольку барьер аналогичной простой реакции $\text{Al}_{13}^- + \text{H}_2 \rightarrow \text{Al}_{13}\text{H}_2^-$, рассчитанный в [23, 24], составляет ~ 39 ккал/моль, можно полагать, что у более сложных алюмогидридов барьеры также останутся высокими и что кластеры Al_{44}H_n могут существовать и быть экспериментально обнаружены в изолированном состоянии или в инертных матрицах.

Согласно расчетам, во второй половине серии Al_{44}H_n однослойное бипирамидальное ядро Al_5 оказывается малостабильным и при большом числе атомов Н может разрушаться с внедрением его атомов в поверхностную оболочку. Разрушение ядра сопровождается одновременным выходом нескольких атомов алюминия из поверхности и образованием внешнесферных валентно-ненасыщенных фрагментов типа AlH_n и Al_2H_n . Возникает вопрос, в какой степени эта картина сохранится или изменится у родственных кластеров с большим числом атомов алюминия во внутреннем ядре и на поверхности.

Послойно гидрированные кластеры Al_{89}H_n

Кластер Al_{89}^- , структура которого изображена в верхней части рис. 4, представляет собой горизонтально расширенную модификацию кластера Al_{44} . Как и Al_{44} , он имеет пятислойную структуру, но число атомов в его экваториальном (**O**), промежуточных (**I**) и внешних (**II**) слоях увеличивается до 27, 19 и 12 соответственно (в структуре **4-1a** эти слои выделены красным, серым и желтым цветом). В кластере Al_{89}^- можно выделить двухслойное внутреннее “ядро”, состоящее из 26 атомов, пять из которых входят в состав центральной бипирамиды $[\text{Al}_5]$ (выделены синим цветом в структуре **4-1b**), а остальные 21 образуют промежуточную (подповерхностную) оболочку $[\text{Al}_{21}]$ (выделены оранжевым цветом). Оптимизированные структуры послойно гидрированных производных Al_{89}H_n с 15, 24, 39 и 63 атомами Н изображены в нижней части рис. 4.

Из рис. 4 видно, что при присоединении 24 атомов Н к внешним слоям (структуре $\text{Al}_{89}\text{H}_{24}^-$ (**4-2**)) оба слоя II^+ и II^- “надуваются” и приобретают форму купола с одновременным смещением нескольких атомов подповерхностной оболочки $[\text{Al}_{21}]$, которые встраиваются в граничные области, отделяющие куполы от центрального массива каркаса. При гидрировании промежуточных слоев **I**⁺ и **I**⁻ (структуре $\text{Al}_{89}\text{H}_{24}^-$ (**9-3**)) половина присоединившихся атомов Н образует терминальные связи Al—H, а другая половина включается в мостики Al—H_b—Al₀, связывающие промежуточные слои **I** с экваториальным **O**. Гидрирование экваториального слоя **O** сопровождается образованием девяти терминальных связей Al—H и шести мостиков Al₀—H_b—Al₀ между соседними экваториальными атомами. Бипирамидальное ядро $[\text{Al}_5]$ деформируется слабо. Средние энергии связей $D_{\text{II}}(\text{H})$, $D_{\text{I}}(\text{H})$ и $D_{\text{O}}(\text{H})$, рассчитанные по разностям полных энергий реагентов и продуктов реакций типа $\text{Al}_{89}^- + 24\text{H} \rightarrow \text{Al}_{89}\text{H}_{24}^-$ и усредненные по числу атомов водорода во внешних, промежу-

точных и экваториальном слоях, лежат в интервале 53.5–57.0 ккал/моль. При послойном гидрировании наиболее предпочтительными оказываются позиции у внешних слоев II^\pm и наименее выгодными – позиции у средних слоев I^\pm . Энергии $D(2\text{H})$ присоединения пары атомов Н у всех трех структур лежат в интервале ~ 107 –114 ккал/моль, что на ~ 4 –10 ккал/моль больше энергии диссоциации свободной молекулы H₂.

При одновременном гидрировании соседних слоев II^+ , I^+ и **O** помимо деформаций, отмеченных выше, у кластера $\text{Al}_{89}\text{H}_{39}$ (**4-4**) происходит распад бипирамидального ядра $[\text{Al}_5] \rightarrow [\text{Al}_4] + \text{Al}_{(52)}$. При этом аксиальный атом Al₍₅₂₎ смешается вдоль молекулярной оси и удаляется более чем на 1 Å от группы $[\text{Al}_4]$, которая принимает форму сильно искаженного тетраэдра. У кластера $\text{Al}_{89}\text{H}_{51}$, который получается из $\text{Al}_{89}\text{H}_{39}$ (**4-4**) при заполнении второго промежуточного слоя **I**⁻, начинаются серьезные перестройки поверхности в области между экваториальным и промежуточными слоями с появлением внешнесферных фрагментов AlH_n и Al_3H_n , а также с распадом ядра $[\text{Al}_5] \rightarrow [\text{Al}_4] + \text{Al}$ и смещением атома Al₍₅₎ в экваториальной плоскости на ~ 1.4 Å.

Наиболее значительные деформации характерны для структур с несимметричным расположением атомов водорода. У симметрично гидрированной структуры $\text{Al}_{89}\text{H}_{63}^-$ (**4-5**) ядро сохраняет бипирамидальную форму с умеренным сжатием и укорочением длины связей Al—Al на 0.10–0.15 Å по сравнению с их длинами в голом кластере Al_{89}^- . При этом существенно возрастает число внешнесферных фрагментов AlH, AlH₂ и Al₃H₂, связанных с поверхностью в основном водородными мостиками. Простейшие фрагменты AlH с их мостиками образуют пять координированных аланнатных групп AlH₄, три из которых пространственно разделены, а две связаны с трехъядерными фрагментами Al₃H₂. Как и в предыдущих случаях, атомы внешних слоев II^\pm покрыты терминальными связями Al—H и выгибаются в виде полусфер с образованием шароподобных фрагментов, встроенных сверху и снизу в основной центральный блок. Группа атомов промежуточной оболочки Al₂₁ встраивается в поверхностную оболочку кластера и может присоединять дополнительно еще восемь атомов водорода. Атомы экваториальной плоскости остаются в составе ядра и смещаются к центру кластера на умеренные 0.05–0.10 Å.

Хотя наше рассмотрение ограничивается изомерами “однослойных” кластеров Al_mH_n , в которых число атомов Н не превышает числа атомов Al в поверхностных позициях, полученные результаты иллюстрируют большое разнообразие

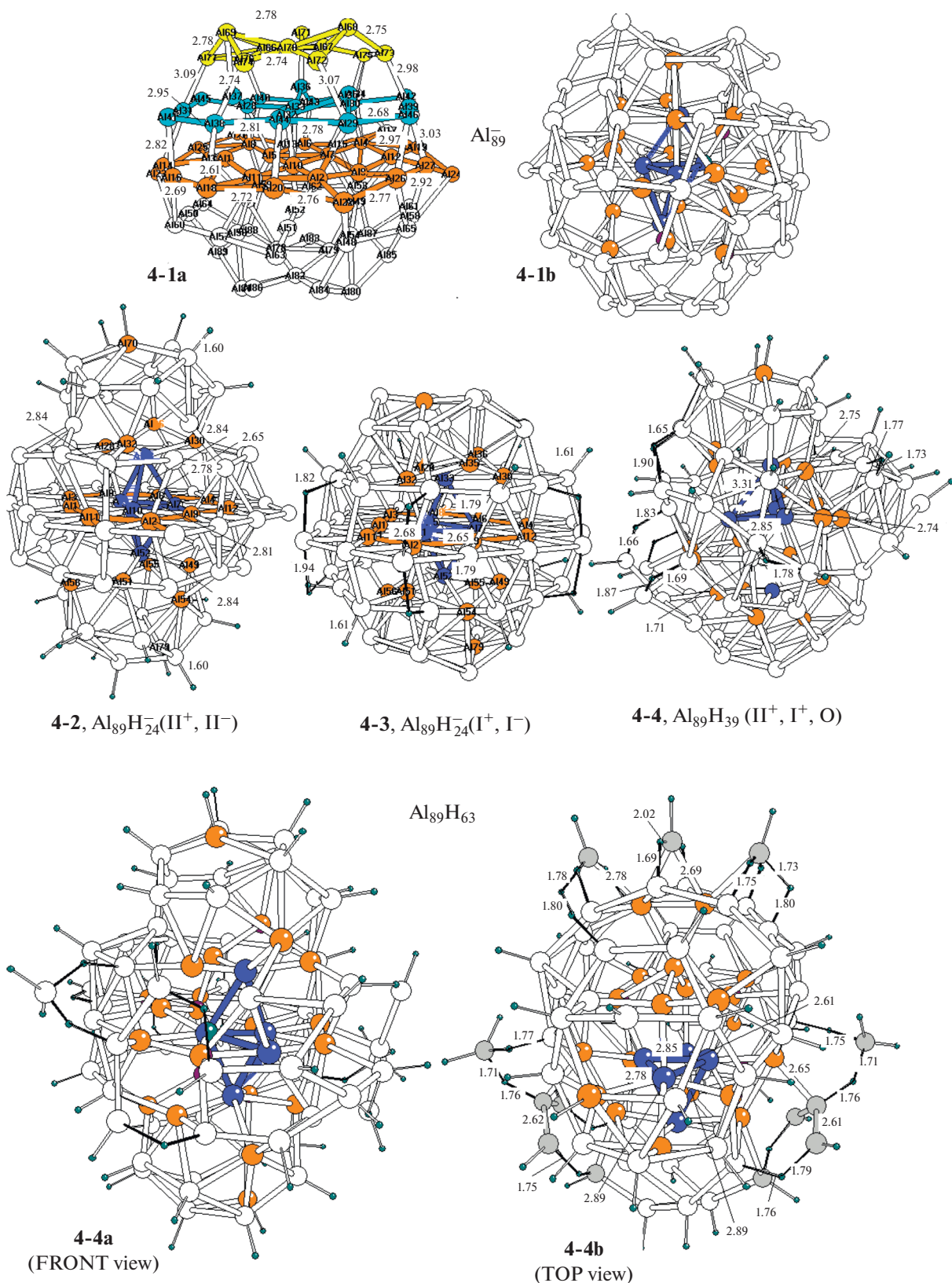


Рис. 4. Структуры кластера Al_{89}^- и гидридов $\text{Al}_{89}\text{H}_{24}^-$, $\text{Al}_{89}\text{H}_{29}$ и $\text{Al}_{89}\text{H}_{63}$.

изомеров, структурных форм и сложных перегруппировок, характерных для этих нежестких систем, следовательно, работа может рассматриваться как первый шаг в DFT-моделировании гидридов наноразмерных алюминиевых кластеров на молекулярном уровне. При дальнейшем увеличении n , несомненно, будут найдены новые низколежащие изомеры с необычными структурами, дефектами и перегруппировками. Поиск критических значений n и конфигураций, соответствующих наиболее “драматическим” перегруппировкам, может быть важным для понимания механизмов реакций на стадиях более глубокого гидрирования.

Мы надеемся, что полученные результаты будут способствовать исследованиям ряда общих вопросов, включая а) деформации и последовательное разрушение гидрируемой поверхности с ростом n ; б) ассоциации и организацию алановых фрагментов в надповерхностной области; в) миграцию и внедрение атомов подповерхностного слоя в поверхностную оболочку; г) роль многоатомных “окон” и родственных поверхностных дефектов в качестве “калиток” для миграции внешних атомов Н во внутреннюю область каркаса с образованием внутренних связей и мостиков и др. Нетривиальные фуллероидные структуры с внешними и внутренними связями могут представлять особый интерес для структурной химии алюмогидридов.

ФИНАНСИРОВАНИЕ РАБОТЫ

Работа выполнена в рамках госзадания № 0089-2019-0007 и при поддержке Российского фонда фундаментальных исследований (грант № 18-03-01156а).

СПИСОК ЛИТЕРАТУРЫ

1. *Orimo S., Nakamori Y., Eliseo J.R. et al.* // Chem. Rev. 2007. V. 107. № 10. P. 4111.
2. *Graetz J., Reilly J.J., Yartys V.A. et al.* // J. Alloys Compd. 2011. V. 509S. P. 5517. <https://doi.org/10.1016/j.jallcom2010.11.115>
3. *Jeon K.-J., Moon H.R., Ruminski A.M. et al.* // Nature Mat. 2011. V. 10. P. 286. doi 10.1038/NMAT2978
4. *Francombe T.J.* // Chem. Rev. 2012. V. 112. P. 2164.
5. *Charkin O.P., Klimenko N.M., Charkin D.O. et al.* // Faraday Discuss. 2003. V. 124. P. 215.
6. *Andrews L., Wang X.* // J. Phys. Chem. A. 2004. V. 2004. P. 4202.
7. *Lai Q., Paskevicius M., Sheppard D.A. et al.* // Chem. Sus. Chem. 2015. V. 8. P. 2789. <https://doi.org/10.1002/cssc.201500231>
8. *Li X., Grubisich A., Stokes S.T. et al.* // Science. 2007. V. 315. P. 356. <https://doi.org/10.1126/science/1133767>
9. *Jung J., Han Y.-K.* // J. Chem. Phys. 2006. V. 125. P. 064306.
10. *Roach P.J., Reber A.C., Hoodwaed W.H. et al.* // Proc. Natt. Acad. Sci. US. 2007. V. 104. № 37. P. 14565. <https://doi.org/10.1073/PNAS.07066113104>
11. *Li X., Grubisich A., Bowen K.H. et al.* // J. Chem. Phys. 2010. V. 132. P. 241103. <https://doi.org/10.1063/1.3458912>
12. *Kiran B., Kandalam A.K., Xu J. et al.* // J. Chem. Phys. 2012. V. 137. № 13. P. 134303. <https://doi.org/10.1063/1.4754506>
13. *Zhang X., Wang H., Collins E. et al.* // J. Chem. Phys. 2013. V. 138. P. 124303. <https://doi.org/10.1063/1.47962000>
14. *Wang H., Zhang X., Ko Y. et al.* // J. Chem. Phys. 2014. V. 140. № 16. P. 164317. <https://doi.org/10.1063/1.4871884>
15. *Grubisic A., Li X., Stokes S.T. et al.* // J. Am. Chem. Soc. 2007. V. 129. P. 5969.
16. *Moc J.* // Chem. Phys. Lett. 2008. V. 116. P. 466.
17. *Goldberg A., Yarovsky I.* // Phys. Rev. B. 2007. V. 75. P. 195403.
18. *Henry D.J., Yarovsky I.* // J. Phys. Chem. A. 2009. V. 113. P. 2565.
19. *Charkin O.P., Klimenko N.M., Charkin D.O.* // Chem. Phys. 2019. V. 523. P. 112. <https://doi.org/10.1016/j.chemphys.2019.02.007>
20. *Charkin O.P., Klimenko N.M.* // Russ. J. Inorg. Chem. 2018. V. 63. № 4. P. 479. [Чаркин О.П., Клименко Н.М. // Журн. неорган. химии. 2018. Т. 63. № 4. С. 448.]
21. *Frisch M.J., Trucks G.W., Schlegel H.B. et al.* Gaussian 09, Revision C.01. Gaussian, Inc., Wallingford CT, 2013.
22. *Becke A.D.* // J. Chem. Phys. 1993. V. 98. P. 5648.
23. *Lee C., Yang W., Parr R.G.* // Phys. Rev. 1988. V. 37B. P. 785.
24. *Charkin O.P., Klimenko N.M.* // Russ. J. Inorg. Chem. 2007. V. 53. № 12. P. 1925. [Чаркин О.П., Клименко Н.М. // Журн. неорган. химии. 2007. Т. 52. № 12. С. 2033.]